

P4-2013-81

В. В. Пупышев *

ЭНЕРГИИ СЛАБОСВЯЗАННЫХ И ОКОЛОПОРОГОВЫХ
РЕЗОНАНСНЫХ СОСТОЯНИЙ КВАНТОВОЙ ЧАСТИЦЫ
В ДВУМЕРНОЙ ПЛОСКОСТИ

Направлено в журнал «Теоретическая и математическая физика»

* E-mail: pupyshev@theor.jinr.ru

| | |
|---|------------|
| Пупышев В. В. Энергии слабосвязанных и околопороговых резонансных состояний квантовой частицы в двумерной плоскости | Р4-2013-81 |
| <p>Предполагается, что медленная квантовая частица движется в двумерной плоскости трехмерного координатного пространства и ее движение происходит в поле центрального короткодействующего потенциала. Показано, что приближенные энергии слабосвязанных и околопороговых резонансных состояний этой частицы определяются корнями трансцендентных уравнений, содержащих два параметра: длину рассеяния и эффективный радиус. Найдены достаточные условия разрешимости таких уравнений. Исследована зависимость их решений от параметров.</p> <p>Работа выполнена в Лаборатории теоретической физики им. Н. Н. Боголюбова ОИЯИ.</p> | |

Препринт Объединенного института ядерных исследований. Дубна, 2013

| | |
|--|------------|
| Pupyshev V. V. Energies of Weakly-Bound and Near-Threshold Resonance States of a Quantum Particle in the Two-Dimensional Plane | Р4-2013-81 |
| <p>By assumption, a slow quantum particle moves in the two-dimensional plane of the three-dimensional configuration space and its movement takes place in the field of a central short-range potential. It is shown that the approximated energies of the weakly-bound and near-threshold resonance states of this particle are defined via the roots of the transcendental equations containing two parameters: the scattering length and effective range. The sufficient conditions for solvability of those equations are found. The dependence of their solutions on the parameters is studied.</p> <p>The investigation has been performed at the Bogoliubov Laboratory of Theoretical Physics, JINR.</p> | |

Preprint of the Joint Institute for Nuclear Research. Dubna, 2013

ВВЕДЕНИЕ

К сожалению, в классических учебных курсах по квантовой механике [1, 2] и теории рассеяния в трехмерном координатном пространстве [3–5] не уделено особого внимания рассеянию в двумерной плоскости этого пространства. Фундаментальным вкладом в теорию двумерного рассеяния являются результаты до сих пор активно цитируемых журнальных статей [6–18], опубликованных в прошлом веке. В нашем веке расширение [19–26] этой теории стимулируется бурным развитием экспериментальной физики ультрахолодных газов в магнитооптических ловушках [27–29]. Уровень современной экспериментальной физики настолько высок, что позволяет создавать магнитооптические ловушки, один из трех размеров которых сравним с длиной де Броиля частицы газа. Поэтому в таких ловушках движение частиц газа ограничено в одном направлении и происходит в основном в двумерной плоскости трехмерного координатного пространства. Характерная плотность ультрахолодного газа настолько мала, что среди всех возможных столкновений его частиц доминируют бинарные.

С экспериментальной точки зрения наиболее интересны следующие известные особенности двумерного движения двух квантовых частиц, взаимодействующих посредством потенциала. При любом сколь угодно слабом, но притягивающем потенциале, убывающем быстрее кулоновского, в системе двух частиц имеется по крайней мере одно слабосвязанное состояние [1, 6, 7]. Сечение рассеяния двух частиц, взаимодействующих посредством короткодействующего, в том числе и финитного потенциала, неограниченно возрастает в пределе нулевой полной энергии [1, 9–12, 26] этих частиц, причем старшее слагаемое асимптотики сечения в этом пределе никак не зависит от потенциала и описывается неаналитической функцией полной энергии, равной ее логарифму. Эту же логарифмическую функцию полной энергии содержат и все известные к настоящему времени определения [13–16, 21, 25, 26] функции эффективного радиуса для двумерного рассеяния двух частиц в случае центрального короткодействующего потенциала. Наличие слабосвязанного состояния двух частиц существенно изменяет пороговое поведения сечения их рассеяния [17, 22, 23].

Слабосвязанные и долгоживущие околопороговые резонансные состояния двух частиц ультрахолодного газа в двумерной плоскости являются каналами

рекомбинации и поэтому должны существенно менять интенсивно исследуемые свойства конденсата Бозе–Энштейна [8, 19, 20]. С точки зрения квантовой химии слабосвязанные или долгоживущие околопороговые резонансные состояния двух атомов или молекул в двумерной плоскости являются стабильными или долгоживущими молекулярными комплексами. Синтезом таких комплексов можно управлять, задавая взаимодействие между двумя частицами газа путем изменения параметров полей, создающих магнитооптическую ловушку [29].

Следовательно, актуальной задачей современной теории двумерного рассеяния и нового направления квантовой химии — двумерной молекулярной динамики — является математический анализ энергетических спектров слабосвязанных и околопороговых резонансных состояний двух квантовых частиц.

Для вычисления энергий и волновых функций слабосвязанных состояний в случае нецентрального (анизотропного) потенциала, убывающего быстрее центробежного, наиболее перспективным является известный [18] и уже апробированный [24] метод.

Для расчета энергий околопороговых резонансных состояний в случае центрального короткодействующего потенциала, заданного аналитической функцией, наиболее экономичным представляется недавно предложенный алгоритм [25], основанный на комплексном скейлинге и рекуррентной цепочке энергонезависимых систем обыкновенных дифференциальных уравнений первого порядка.

Как известно [30], вычисление малых по модулю собственных значений дифференциального оператора является довольно сложной проблемой, полное решение которой не представляется возможным без предварительного определения числа собственных значений и их распределения.

Основная цель настоящей работы — решить задачу локализации энергий слабосвязанных и околопороговых резонансных состояний квантовой частицы, движущейся в двумерной плоскости в поле центрального короткодействующего потенциала. Для решения используется аналитическое продолжение известного двумерного аналога [26] функции эффективного радиуса. Низкоэнергетическое разложение этого аналога аппроксимируется суммой его двух первых слагаемых. В результате получаются двухпараметрические эталонные трансцендентные уравнения. Параметрами являются длина рассеяния и эффективный радиус. Корни эталонных уравнений однозначно связаны с приближенными энергиями слабосвязанных и околопороговых резонансных состояний. Таким образом исходная задача сводится к более простой, а именно к определению множества значений двух параметров, при которых эталонные уравнения имеют корни, и анализу зависимости корней от обоих параметров.

Разд. 1 содержит определения и известные соотношения, которые окажутся ключевыми в следующих разделах. Схематично изложенный выше

подход реализуется в разд. 2 для локализации энергий слабосвязанных состояний, а в разд. 3 — для локализации энергий околопороговых резонансных состояний. Основные результаты выполненных исследований суммируются и обсуждаются в заключении.

1. ОПРЕДЕЛЕНИЯ И КЛЮЧЕВЫЕ СООТНОШЕНИЯ

Используем терминологию, принятую в учебных курсах [1–5] и в известных монографиях по функциональному анализу [31], теории дифференциальных уравнений [32, 33] и специальных функций [34, 35].

Пусть квантовая частица p_1 имеет конечную массу $m_1 > 0$ и движется только в двумерной плоскости \mathcal{P} ее трехмерного координатного пространства \mathcal{R}^3 . Предполагается, что некоторая неподвижная точка O этой плоскости является силовым центром, действующим на частицу p_1 посредством потенциала \tilde{V} . Считается, что этот потенциал зависит только от расстояния r между частицей p_1 и точкой O , является короткодействующим и тождественно равным нулю вне плоскости \mathcal{P} .

В плоскости \mathcal{P} введем двумерную декартову систему координат \mathcal{S}^2 с направляющими ортами e_1 и e_2 . Пусть начальная точка этой системы совпадает с силовым центром O , а орт e_1 направлен вдоль волнового вектора k_0 начального состояния частицы p_1 . В системе \mathcal{S}^2 определим стандартным образом полярные координаты: расстояние r и азимутальный угол φ . Символом d обозначим свободный положительный параметр, имеющий размерность расстояния. Вместо расстояния r и волнового числа $k \equiv |k_0|$ будем использовать безразмерные аргумент $x \equiv r/d$ и волновое число $q \equiv kd$. Формулами $E = (kd)^2\beta$, $E = \beta q^2$ и $\beta \equiv (\hbar/d)^2/(2m_1)$ этому числу сопоставим размерную полную энергию E частицы p_1 .

Считаем, что безразмерный потенциал

$$V(x) \equiv (2m_1d^2/\hbar^2)\tilde{V}(r = x/d), \quad V(x) \equiv \tilde{V}(r = x/d)/\beta$$

является слабосингулярным, непрерывным и короткодействующим:

$$\begin{aligned} \lim_{x \rightarrow 0} x^2 |V(x)| &= 0, \quad V(x) \in \mathcal{C}^0(0, \infty), \\ \lim_{x \rightarrow \infty} x^n |V(x)| &= 0, \quad n = 0, 1, 2, \dots \end{aligned} \tag{1}$$

Напомним, что волновая функция $\Psi(x, \varphi; q)$ частицы в плоскости \mathcal{P} определяется как ограниченное в любой точке этой плоскости решение двумерного уравнения Шредингера [5]

$$[\partial_x^2 + x^{-1} \partial_x + x^{-2} \partial_\varphi^2 + q^2 - V(x)] \Psi(x, \varphi; q) = 0,$$

которое известной подстановкой [12, 25, 26]

$$\begin{aligned}\Psi(x, \varphi; q) &= x^{-1/2} \sum_{\lambda=-\infty}^{\infty} u_{\lambda}(x; q) g_{\lambda}(\varphi), \\ g_{\lambda}(\varphi) &\equiv (2\pi)^{-1/2} \exp [i(\lambda + 1/2) \varphi]\end{aligned}$$

и последующим проецированием на функции g_{λ} сводится к бесконечной по номеру $\lambda = -1/2, 1/2, \dots$ совокупности не связанных друг с другом одномерных уравнений Шредингера для искомых радиальных компонент u_{λ} :

$$[\partial_x^2 + q^2 - \lambda(\lambda + 1)x^{-2} - V(x)] u_{\lambda}(x; q) = 0, \quad x \geq 0. \quad (2)$$

Следовательно, волновое число q и полуцелое число $\lambda = -1/2, 1/2, \dots$ образуют полный набор $\varepsilon = \{q, \lambda\}$ сохраняющихся квантовых чисел, определяющих квантовое состояние $|q, \lambda\rangle$ частицы p_1 .

Вследствие первого из трех условий (1) при любом комплексном значении параметра q компонента u_{λ} вблизи начальной точки $x = 0$ должна иметь следующую асимптотику [32]:

$$u_{\lambda}(x; q) \sim (qx)^{\lambda+1}, \quad |q|x \rightarrow 0. \quad (3)$$

Для определения асимптотики этой компоненты u_{λ} в окрестности бесконечно удаленной точки $x = \infty$ необходимо сначала обсудить уравнение (2). Заметим следующее: если в этом уравнении и граничном условии (3) сделать замену $\lambda \rightarrow \ell$ и разрешить индексу ℓ принимать значения $\ell = 0, 1, 2, \dots$, то получится детально исследованная в теории рассеяния [4] одномерная задача [36] для радиальной компоненты u_{ℓ} волновой функции, определяющей движение квантовой частицы в трехмерном координатном пространстве \mathcal{R}^3 в случае сферически-симметричного потенциала $V(x)$. Поэтому представляется логичным определить все возможные состояния $|q, \lambda\rangle$ нашей частицы p_1 в двумерной плоскости \mathcal{P} этого пространства по аналогии с трехмерным случаем [4, 5]. Поступим именно таким образом.

Как и в монографии [5], считаем, что благодаря третьему из ограничений (1) на потенциал $V(x)$ волновая функция u_{λ} состояния упругого рассеяния $|q, \lambda\rangle$ определяется условиями $q \geq 0$ и

$$\langle x|q, \lambda\rangle = u_{\lambda}(x; q) \rightarrow \sin [qx - \pi\lambda/2 + \delta_{\lambda}(q)], \quad |q|x/|\lambda| \rightarrow \infty,$$

а величины $\delta_{\lambda}(q)$ и

$$\sigma_{\lambda}(q) \equiv \frac{\sigma_{\lambda}^u(q)}{[\operatorname{ctg} \delta_{\lambda}(q)]^2 + 1}, \quad \sigma_{\lambda}^u(q) \equiv \frac{4}{q} (2 - \delta_{2\lambda, -1}) \quad (4)$$

являются парциальными фазой и сечением рассеяния в таком состоянии. Здесь $\delta_{i,j}$ — символ Кронекера. При любом $q \geq 0$ сечение $\sigma_\lambda(q)$ не превышает своего унитарного предела $\sigma_\lambda^u(q)$. Предел $q \rightarrow 0+$ назовем пределом низких энергий. Нулевое значение энергии рассеяния $E = \beta q^2$ называем пороговым, потому что при переходе через него в область $E < 0$ состояния рассеяния исчезают.

Связанные состояния выделим из всех остальных условиями $q = ip$, $p \geq 0$, и

$$\langle x|ip, \lambda \rangle = u_\lambda(x; ip) \sim \exp(-px), \quad px/|\lambda| \rightarrow \infty; \quad \int_0^\infty |u_\lambda(x)|^2 dx = 1. \quad (5)$$

Вследствие этих условий в связанном состоянии $|ip, \lambda\rangle$ частица p_1 имеет отрицательную или нулевую полную энергию $E \equiv \beta q^2 = -\beta p^2$, которой соответствует неотрицательная энергия связи $B \equiv -E$ и квадратично-суммируемая на полуоси $x \geq 0$ радиальная волновая функция $\langle x|ip, \lambda \rangle = u_\lambda(x; ip)$, нормированная на единицу.

Резонансное состояние частицы p_1 определим как состояние $|q, \lambda\rangle$ с комплексным волновым числом $q = q_1 - iq_2$, $q_1, q_2 > 0$, которому отвечает радиальная волновая функция u_λ , обладающая асимптотикой в виде расходящейся круговой волны:

$$\begin{aligned} \langle x|q, \lambda \rangle &= u_\lambda(x; q_1 - iq_2) \sim \\ &\sim \exp\{q_2 x + i[q_1 x - \pi\lambda/2 + \delta_\lambda(q)]\}, \quad |q|x/|\lambda| \rightarrow \infty. \end{aligned} \quad (6)$$

По определению число q лежит внутри четвертого квадранта комплексной плоскости волновых чисел. В этом квадранте удобно использовать специальные полярные координаты (p, ω) — модуль $p = |q|$ и угол ω , отсчитываемый от полуоси положительных вещественных значений и определенный следующими формулами:

$$q = p \exp[i(2\pi - \omega)] = p \exp(-i\omega), \quad \omega \equiv \arctg(q_2/q_1) \in (0, \pi/2). \quad (7)$$

В координатах (p, ω) размерная энергия E резонансного состояния $|q, \lambda\rangle = |(p, \omega), \lambda\rangle$ представляется как

$$\begin{aligned} E &\equiv \beta q^2 = E_r - i\Gamma/2, \quad E_r \equiv \beta p^2, \\ \Gamma &\equiv 2\beta p^2 \sin 2\omega, \quad \beta \equiv (\hbar/d)^2/(2m_1), \end{aligned} \quad (8)$$

а величины E_r и Γ называются энергией резонанса и его шириной.

Сформулируем три особо значимых утверждения. Благодаря ограничениям (1), наложенным на потенциал $V(x)$, при любом $q > 0$ или $q = ip$,

$p > 0$, уравнение (2) с граничным условием (3) имеет общее решение $u_\lambda(x; q)$, обладающее асимптотикой

$$u_\lambda(x; q) \rightarrow N(q) [A^+(q) \exp(iqx) - A^- \exp(-iqx)], \quad |q|x/|\lambda| \rightarrow \infty. \quad (9)$$

В этой асимптотике

$$A^\pm(q) \equiv (2i)^{-1} \exp\{\mp i[\pi\lambda/2 - \delta_\lambda(q)]\},$$

а $N(q)$ и $\delta_\lambda(q)$ — произвольные и, вообще говоря, комплекснозначные функции аргумента q . Высказанное утверждение останется верным при любом $q = q_1 - iq_2$, $q_2 \in (0, q_0)$, $q_0 > 0$, если последнее из условий (1) заменить более сильным ограничением, а именно потребовать суммируемость функции $|V(x)| \exp(2q_0x)$ в области $x \gg 1$.

Доказательство сформулированных выше утверждений о свойствах общего регулярного решения $u_\lambda(x; q)$ уравнения (2) с полуцелым значением параметра λ принципиально ничем не отличается от детально изложенного в монографии анализа этого уравнения в случае целых значений параметра $\lambda = \ell = 0, 1, \dots$ и реализуется по той же схеме. Напомним ее. Сначала исходное уравнение (2) с условием (3) сводится к интегральному уравнению, функция Грина которого выражается через функции Бесселя $J_m(qx)$ и $Y_m(qx)$ целого порядка $m = \lambda + 1/2$. Далее используется известное аналитическое продолжение [34,35] таких функций и к полученному уравнению применяется метод последовательных приближений [31,32]. В итоге доказывается, что перечисленные выше ограничения на потенциал V являются достаточными для равномерной сходимости этого метода, а следовательно, для существования единственного решения u_λ с асимптотикой (9).

Перечислим наиболее часто употребляемые определения длины рассеяния для двумерного рассеяния короткодействующим потенциалом. В работах [13, 14] и [21] для случая $2\lambda = -1$ длиной рассеяния считался коэффициент a' , содержащийся в старшем слагаемом $\ln(a'q/2)$ низкоэнергетической ($q \rightarrow +0$) асимптотики функции $\operatorname{ctg} \delta_\lambda(q)$. В том же случае $2\lambda = -1$ в работах [15,16] и [25] длина рассеяния определялась как низкоэнергетический предел функции $\operatorname{ctg} \delta_\lambda(q) - \ln(q/2)$.

Теперь поясним определения, введенные в работе [26], и доказанные в этой же работе соотношения, которые будут ключевыми для наших исследований.

Для каждого состояния рассеяния $|\lambda, q\rangle$, $q > 0$, с выбранным значением λ функция эффективного радиуса $K(q)$ определяется через функцию $K(x; q)$ формулами

$$K(q) \equiv \lim_{x \rightarrow \infty} K(x; q), \quad K(x; q) \equiv q^{2\lambda+1} [\operatorname{ctg} \delta_\lambda(x; q) - h(q)]. \quad (10)$$

Функция $K(x; q)$ является бесконечным рядом по четным степеням волнового числа

$$K(x; q) = -\frac{1}{a(x)} + \frac{q^2}{2} r_{\text{eff}}(x) + \dots, \quad x \geq 0. \quad (11)$$

Здесь и всюду далее $\delta_\lambda(x; q)$ — фазовая функция [5], а $h(q)$ — логарифмическая функция, содержащая константу Эйлера γ и определенная формулами

$$\begin{aligned} h(q) &\equiv (2/\pi) [\ln(q/2) + \gamma] = (2/\pi) \ln(q/q_0), \\ q_0 &\equiv 2 \exp(-\gamma) = 1,122918\dots \end{aligned} \quad (12)$$

В начальной точке $x = 0$ полуоси $x \geq 0$ функции $a(x)$ и $\xi(x) \equiv a^2(x)r_{\text{eff}}(x)$ равны нулю, а в бесконечно удаленной точке $x = \infty$ могут быть неограниченными. Если предельные при $x \rightarrow \infty$ значения a и r_{eff} функций $a(x)$ и $r_{\text{eff}}(x)$ удовлетворяют ограничениям $a \neq 0$ и $|a|, |r_{\text{eff}}| < \infty$, то вследствие представлений (10) и (11) функция $K(q)$ имеет низкоэнергетическую ($q \rightarrow 0+$) асимптотику

$$K(q) \equiv q^{2\lambda+1} [\operatorname{ctg} \delta_\lambda(q) - h(q)] = -\frac{1}{a} + \frac{q^2}{2} r_{\text{eff}} + O(|q^4|/q_0^4), \quad (13)$$

а коэффициенты a и r_{eff} называются длиной рассеяния и эффективным радиусом. Именно такое определение, исключающее особые случаи $a = 0$, $|a| = \infty$ или $|r_{\text{eff}}| = \infty$, используется в настоящей работе. Анализ особых случаев ($a = 0, a = \pm\infty$) выходит за ее рамки.

Сформулируем важное утверждение об аналитическом продолжении функции эффективного радиуса: определим функцию эффективного радиуса $K(q)$ в области $\mathcal{G} \equiv \{q : |\arg q| < \pi/2, \operatorname{Im} q \geq -q_0\}$ комплексной плоскости волнового числа q формулами (10), тогда в этой области останется в силе разложение (11), а функция $K(q)$ будет иметь асимптотику (13). Полное доказательство обоих следствий принятого определения опускаем по двум причинам: его схема основана на уравнениях для амплитудных функций $\tilde{c}(x; q)$, $s(x, q)$ и принципиально не отличается от схемы, использованной в работе [26] в случае $q = \operatorname{Re} q > 0$, а наиболее сложный этап — доказательство существования ограниченных пределов $c_0(x) \equiv \tilde{c}(x; q) - h(q)s(x; q)$ и $s_0(x) \equiv s(x, q)/q^{2\lambda+1}$ при $|q|/q_0 \rightarrow 0$ и вывод асимптотических оценок — реализуется способом, аналогичным подробно изложенному в работе [37].

При любых допустимых значениях числа λ , длины рассеяния $a \neq 0, \pm\infty$, эффективного радиуса $r_{\text{eff}} \neq \pm\infty$ и комплексного волнового числа q , $|q| \ll q_0$, $\arg q \leq \pi/2$, под приближением эффективного радиуса подразумеваем замену функции $K(q)$ суммой слагаемых $-1/a$ и $(q^2/2)r_{\text{eff}}$.

Слабосвязанными считаем связанные состояния $|ip, \lambda\rangle$, $0 < p \ll q_0$, а состояния $|q, \lambda\rangle$, $|q| \ll q_0$, называем оклопороговыми состояниями упругого

$(q > 0)$ или резонансного $(q = q_1 - iq_2)$ рассеяния. Условием $q_2 \ll q_1$, равносильным условию $\omega \ll \pi/2$, из всех резонансных состояний выделяем особо интересные с физической точки зрения узкие резонансные состояния, ширина Γ которых мала и поэтому время жизни \hbar/Γ велико.

2. ЭНЕРГИИ СЛАБОСВЯЗАННЫХ СОСТОЯНИЙ

По определению (5) асимптотика радиальной волновой функции $u_\lambda(x; q)$ связанного состояния $|q, \lambda\rangle$ с волновым числом $q = ip$, $p > 0$, — убывающая экспонента. Покажем, что такое решение уравнения Шредингера (2) существует лишь при определенном значении p . Для этого поступим по аналогии с самым простым способом [2], известным в теории рассеяния в трехмерном координатном пространстве и основанном на использовании асимптотики (9) общего регулярного решения u_λ на полуоси мнимых значений волнового числа. Представим эту асимптотику при $|q|x/|\lambda| \rightarrow \infty$ и $q = ip$, $p > 0$, в виде

$$\begin{aligned} u_\lambda(x; ip) &\rightarrow N(q) [A^+(ip) \exp(-px) - A^-(ip) \exp(px)], \\ A^\pm(ip) &= (2i)^{-1} \exp\{\mp i [\pi\lambda/2 - \delta_\lambda(ip)]\}. \end{aligned}$$

Только в случае $A^-(ip) = 0$ такая асимптотика становится экспоненциально убывающей асимптотикой (5), а функция $u_\lambda(x; ip)$, обладающая ею, — квадратично-суммируемой на полуоси $x > 0$. Цепочкой следующих друг за другом соотношений

$$\begin{aligned} A^-(ip) = 0 \Rightarrow \exp[-i\delta_\lambda(ip)] &= 0 \Rightarrow \cos \delta_\lambda(ip) - i \sin \delta_\lambda(ip) = \\ &= 0 \Rightarrow \operatorname{ctg} \delta_\lambda(ip) = i \end{aligned}$$

получаем уравнение $\operatorname{ctg} \delta_\lambda(ip) = i$, каждый положительный корень p которого является искомым значением мнимой части волнового числа $q = ip$ связанного состояния.

Сведем это уравнение к приближенному в пределе малых значений аргумента p уравнению, которое будет содержать в качестве параметров только длину рассеяния a и эффективный радиус r_{eff} . В интересующем нас частном случае $q = ip$, $p > 0$, из соотношения (13) следует асимптотическое представление

$$\begin{aligned} K(ip) &= (ip)^{2\lambda+1} [\operatorname{ctg} \delta_\lambda(ip) - h(ip)] = \\ &= -\frac{1}{a} - \frac{p^2}{2} r_{\text{eff}} + O(p^4/q_0^4), \quad p/q_0 \rightarrow 0+. \quad (14) \end{aligned}$$

Используя определение (12) функции $h(q)$, заменим в этой асимптотике функцию $h(ip)$ суммой $i + h(p)$, а функцию $\operatorname{ctg} \delta_\lambda(ip)$ — ее нужным значением,

равным i . В результате получим искомое асимптотическое уравнение

$$(ip)^{2\lambda+1} \frac{2}{\pi} \ln(p/q_0) = \frac{1}{a} + \frac{p^2}{2} r_{\text{eff}} + O(p^4/q_0^4), \quad p/q_0 \rightarrow 0 +.$$

Согласно известным асимптотическим методам [33] приближенными корнями этого уравнения являются удовлетворяющие условию $p \ll q_0$ корни эталонного уравнения

$$(ip)^{2\lambda+1} \frac{2}{\pi} \ln(p/q_0) = \frac{1}{a} + \frac{p^2}{2} r_{\text{eff}}. \quad (15)$$

Наша следующая цель такова: считая величины a и r_{eff} независимыми и действительными параметрами, найти все явные ограничения на их значения, при которых эталонное уравнение (15) имеет корни на полуоси $p \geq 0$, а затем исследовать поведение таких корней во всех возможных предельных случаях.

Поставленную задачу решим самым наглядным, а именно графическим, способом. В двумерной плоскости введем декартову систему координат S_p^2 . По ее оси абсцисс будем откладывать значения аргумента p , а по оси ординат — значения функций $y_1(p)$ и $y_2(p)$, равных по определению левой и правой частям уравнения (15) при выбранном значении λ . В силу такого определения абсцисса точки касания или пересечения графиков функций $y_1(p)$ и $y_2(p)$ будет искомым корнем этого уравнения.

Сначала перечислим особенности поведения функции $y_1(p)$. Используем рис. 1. При $2\lambda = -1$ функция $y_1(p) = (2/\pi) \ln(p/q_0)$ монотонно возрастает на всей полуоси $p > 0$. Если $2\lambda = 1, 5, \dots$, то число $2\lambda+1$ не кратно четырем. Поэтому $i^{2\lambda+1} = -1$, а функция $y_1(p) = -(2/\pi) p^{2\lambda+1} \ln(p/q_0)$, равная нулю в точках $p = 0$ и $p = q_0$, на интервале $(0, q_0)$ принимает положительные значения и имеет один локальный максимум. Если $2\lambda = 3, 7, \dots$, то число $2\lambda+1$ кратно четырем. Следовательно, $i^{2\lambda+1} = 1$, функция $y_1(p) = (2/\pi) p^{2\lambda+1} \ln(p/q_0)$ обращается в нуль при $p = 0$ и $p = q_0$, а на интервале $(0, q_0)$ является отрицательной и имеет локальный минимум. Если $2\lambda \geq 3$, то график функции $y_1(p)$ имеет одну точку перегиба, абсцисса которой определяется как нуль второй производной $\partial_p^2 y_1(p)$ этой функции.

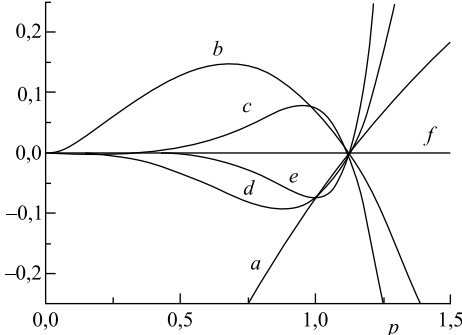


Рис. 1. Графики функций $y_0(p) \equiv 0$ (прямая f) и $y_1(p) = (ip)^{2\lambda+1} (2/\pi) \ln(p/q_0)$ в следующих случаях: $2\lambda = -1$ (кривая a); $2\lambda = 1, 5$ (кривые b, c); $2\lambda = 3, 7$ (кривые d, e)

Теперь рассмотрим самый простой случай, когда $r_{\text{eff}} = 0$, а исследуемое уравнение (15) является однопараметрическим уравнением:

$$(ip)^{2\lambda+1} \frac{2}{\pi} \ln(p/q_0) = \frac{1}{a}. \quad (16)$$

Пусть $2\lambda = -1$. Согласно рис. 2, a уравнение (16) всегда имеет один корень:

$$p_0 = p_0(a) = q_0 \exp\left(\frac{\pi}{2a}\right) = 2 \exp\left(\frac{\pi}{2a} - \gamma\right). \quad (17)$$

При $a < 0$ корень p_0 лежит на отрезке $[0, q_0]$ и удовлетворяет условию $p_0 \ll 1$, если

$$a \ll -\frac{\pi}{2 \ln q_0} = \frac{\pi}{2(\gamma - \ln 2)} = -13,549346\dots \quad (18)$$

В случае $a > 0$ корень p_0 превышает число q_0 и сходится к нему в пределе $a \rightarrow 0+$.

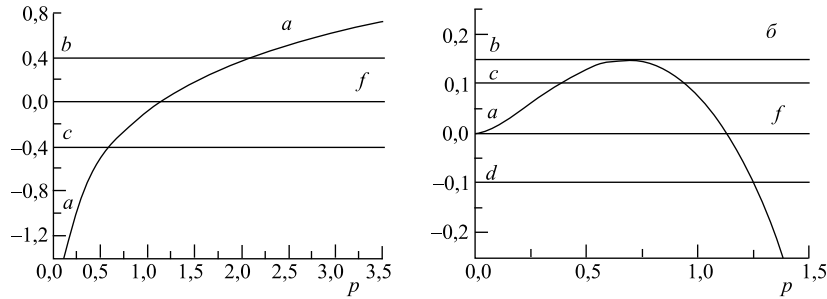


Рис. 2. Графики функций $y_0(p) \equiv 0$ (прямая f), $y_1(p) = (ip)^{2\lambda+1} (2/\pi) \ln(p/q_0)$ (кривые a) и $y_2(p) = 1/a$ в следующих случаях: α) $2\lambda = -1$, $a = 2,25$ (прямая b), $a = -2,25$ (прямая c); β) $2\lambda = 1$, $a = \bar{a} = \pi e q_0^{-2} \approx 6,772$ (прямая b), $a = 10$ (прямая c) и $a = -10$ (прямая d)

Пусть теперь число $2\lambda + 1$ не кратно четырем. Согласно рис. 2, β кривая $y_1(p)$ и прямая $y_2(p) \equiv 1/a$ могут касатьсяся и пересекаться. В точке касания друг другу равны и функции y_1 , y_2 , и их производные $\partial_p y_1$ и $\partial_p y_2 \equiv 0$. Производная

$$\partial_p y_1(p) = -(2/\pi) p^{2\lambda} [(2\lambda + 1) \ln(p/q_0) + 1] \quad (19)$$

обращается нуль в точке $p = t$, зависящей от λ как функция

$$t = t(\lambda) = q_0 \exp[-1/(2\lambda + 1)] < q_0. \quad (20)$$

В этой точке функция $y_1(p)$ достигает своего максимального значения $y_1(t)$:

$$y_1(t) = \frac{2}{\pi e} \frac{q_0^{2\lambda+1}}{2\lambda + 1} \leq \frac{q_0^{2\lambda+1}}{\pi e}, \quad e \equiv \exp(+1) = 2,718281\dots \quad (21)$$

Если функция $y_2(p) \equiv 1/a$ равна этому значению, то $a = \bar{a}$, где

$$\bar{a} \equiv \frac{1}{y_1(t)} = \left(\lambda + \frac{1}{2} \right) \pi e q_0^{-2\lambda-1} = \frac{\pi(2\lambda+1)}{4^{\lambda+1}} \exp[1 + (2\lambda+1)\gamma]. \quad (22)$$

В этом случае кривая y_1 касается прямой y_2 в точке $p = t$, а уравнение (16) имеет один корень второго порядка, равный t . Если $0 < a < \bar{a}$, то $y_1(p) > y_2(p) > 1/a$ при любом $p > 0$ и корней нет. Если же $a > \bar{a}$, то кривая y_1 и прямая y_2 пересекаются в двух точках, а уравнение (16) имеет два разных корня p_- и p_+ первого порядка: корень p_- лежит слева от точки t , а корень p_+ — справа. В пределе $a/\bar{a} \rightarrow \infty$ корень p_- сходится к нулю, а корень p_+ — к точке q_0 . Поэтому корень p_- подчиняется условию $p_- \ll 1$, если $a \gg \bar{a}$, а корень p_+ не может быть меньше минимального значения $q_0 \exp(-1/2) = 0,681084\dots$ переменной $t(\lambda)$, которое достигается при $\lambda = 1/2$. В оставшемся случае ($a < 0$) графики функций y_1 и y_2 всегда пересекаются, но абсцисса p их точки пересечения превышает число q_0 и сходится к нему в пределе $a \rightarrow 0-$.

Теперь предположим, что число $2\lambda + 1$ кратно четырем. Изменим знак в обеих частях уравнения (15) на противоположный. Заметим, что полученное уравнение $y_1(p) = -1/a$ отличается от исследованного выше уравнения $y_1(p) = 1/a$ лишь знаком правой части и допустимыми значениями числа λ . Поэтому в рассматриваемом случае можно применить формулы (19)–(22) и прийти к следующим выводам. Уравнение (15) при $a < -\bar{a}$ не имеет корней; если $a = -\bar{a}$, то имеется один кратный корень, равный t ; если $0 > a > -\bar{a}$, то имеются два разных корня p_- и p_+ : корень p_- лежит слева от точки t , а корень p_+ — справа. В пределе $a/\bar{a} \rightarrow -\infty$ корень p_- сходится к нулю, а корень p_+ — к числу q_0 . Корень p_- подчиняется условию $p_- \ll 1$, если $a \ll -\bar{a}$; корень p_+ не может быть меньше минимального значения $q_0 \exp(-1/4) = 0,874530\dots$ переменной $t(\lambda)$, которое достигается при $\lambda = 3/2$. Если $a > 0$, то имеется один корень p , причем такой, что $p > q_0$ и $p \rightarrow q_0$ при $a \rightarrow 0+$.

Перейдем к анализу уравнения (15) в случае $r_{\text{eff}} \neq 0$, когда его правая часть $y_2(p) = 1/a + q^2 r_{\text{eff}}/2$ является квадратной параболой. Сначала при любом λ найдем связи между параметрами a , r_{eff} и абсциссой t точки касания кривых y_1 и y_2 . Из равенства $\partial_p y_1(p) = \partial_p y_2(p)$ в точке $p = t$ получаем связь между r_{eff} и t :

$$r_{\text{eff}} = (i)^{2\lambda+1} t^{2\lambda-1} (2/\pi) [(2\lambda+1) \ln(t/q_0) + 1]. \quad (23)$$

Используя эту связь и равенство $y_1(p) = y_2(p)$, $p = t$, находим связь между a и t :

$$a^{-1} = -(i)^{2\lambda+1} t^{2\lambda+1} (1/\pi) [(2\lambda-1) \ln(t/q_0) + 1]. \quad (24)$$

Поделим равенство (24) на равенство (23). В итоге получим соотношение

$$\frac{t^2}{2} \frac{(2\lambda - 1) \ln(t/q_0) + 1}{(2\lambda + 1) \ln(t/q_0) + 1} = -\frac{1}{ar_{\text{eff}}}, \quad (25)$$

определяющее корень t уравнения (15) через произведение его параметров a и r_{eff} .

При заданных значениях λ , a и r_{eff} равенства (23)–(25) становятся уравнениями, позволяющими получить следующую информацию: определить положение абсциссы t точки касания или же показать, что такой точки нет. Если $2\lambda = \pm 1$, то, используя такую информацию, нетрудно найти явные ограничения на параметры a и r_{eff} , при которых уравнение (15) имеет решение. Докажем это утверждение.

Пусть $2\lambda = -1$. Исследуем корни уравнения (15), используя рис. 3.

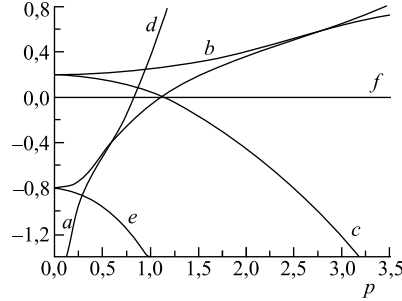


Рис. 3. Графики функций $y_0(p) \equiv 0$ (прямая f), $y_1(p) = (2/\pi) \ln(p/q_0)$ (кривая a) и $y_2(p) = 1/a + p^2 r_{\text{eff}}/2$ в следующих случаях: $a = 5$, $r_{\text{eff}} = \tilde{r}_{\text{eff}}(a) \approx 0,099$ (кривая b); $a = 5$, $r_{\text{eff}} = -2/(aq_0^2) \approx -0,317$ (кривая c); $a = -1,25$, $r_{\text{eff}} = \tilde{r}_{\text{eff}}(a) \approx 2,293$ (кривая d); $a = -1,25$, $r_{\text{eff}} = -1/(aq^2) \approx -0,158$ (кривая e); $\tilde{r}_{\text{eff}}(a)$ — функция (27)

Рассмотрим случай $a > 0$, $r_{\text{eff}} > 0$. В этом случае при любом $p \geq 0$ парабола $y_2(p)$ является вогнутой кривой ($\partial_p^2 y_2 > 0$) и лежит в первом квадранте системы S_p^2 ; этому же квадранту принадлежит выпуклая ($\partial_p^2 y_1 < 0$) кривая $y_1(p)$, если $p > q_0$. Разрешив уравнение (24) относительно t , получаем равенство

$$t = t(a) = q_0 \exp\left(\frac{\pi}{2a} + \frac{1}{2}\right). \quad (26)$$

Используя его, заключаем, что если точка касания существует, то ее абсцисса t лежит правее точки q_0 , а затем из равенства (23) получаем значение \tilde{r}_{eff} параметра r_{eff} , при котором такая точка имеется:

$$r_{\text{eff}} = \tilde{r}_{\text{eff}}(a) \equiv \frac{2}{\pi q_0^2} \exp\left(-\frac{\pi}{a} - 1\right). \quad (27)$$

Этому случаю на рис. 3 соответствует парабола b , касающаяся графика функции y_1 , которым является кривая a . Так как y_1 и y_2 — вогнутая и выпуклая кривые, то при условии $r_{\text{eff}} > \tilde{r}_{\text{eff}}$ уравнение (15) не имеет корней, а в случае $0 < r_{\text{eff}} < \tilde{r}_{\text{eff}}$ имеются два корня, но их значения превышают число q_0 .

Теперь исследуем случай $a > 0$, но $r_{\text{eff}} < 0$. При любом отрицательном значении r_{eff} уравнение (23), определяющее абсциссу t точки касания кривых $y_1(p)$ и $y_2(p)$, порождает неравенство $t^2 < 0$. Следовательно, кривые $y_1(p)$ и $y_2(p)$ не касаются. Так как обе эти кривые выпуклые, то они имеют одну точку пересечения. Точка $(q_0, 0)$, через которую на рис. 3 проходит парабола b , является таковой, если

$$r_{\text{eff}} = r_{\text{eff}}^0(a) \equiv -2/(aq_0^2). \quad (28)$$

Следовательно, если $r_{\text{eff}} \leq r_{\text{eff}}^0$, то абсцисса p точки пересечения принадлежит полуинтервалу $(0, q_0]$ и сходится к нулю при $r_{\text{eff}} \rightarrow \infty$, а в противном случае удовлетворяет неравенству $p > q_0$.

Следующий случай ($a < 0, r_{\text{eff}} < 0$) самый простой: по той же причине, что и в предыдущем случае, кривые $y_1(p)$ и $y_2(p)$ не могут касаться, но всегда пересекаются в одной точке. Соответствующий ей корень уравнения (15) принадлежит интервалу $(0, p_0)$, где p_0 — функция (17). Этот корень сходится к нулю в трех случаях: $a \rightarrow 0-$ или $r_{\text{eff}} \rightarrow -\infty$, или же при $a \rightarrow 0-$ и $r_{\text{eff}} \rightarrow -\infty$. Рассмотренному случаю на рис. 4 отвечает точка пересечения кривых a и e .

Оставшийся случай ($a < 0, r_{\text{eff}} > 0$) самый сложный, потому что согласно уравнению (24) возможны два варианта: абсцисса t точки касания кривых $y_1(p)$ и $y_2(p)$ принадлежит полуинтервалу $(p_0, q_0]$, если $a \geq -\pi$, или расположена на полуинтервале $(q_0, q_0e]$, если $a < -\pi$. Первому варианту на рис. 3 соответствует точка касания кривых a и d . Разрешив уравнение (23) относительно t , получаем $t = \sqrt{2/(\pi r_{\text{eff}})}$. Заменив t правой частью этого равенства в уравнении (24), доказываем, что при данном a точка касания существует, если $r_{\text{eff}} = \tilde{r}_{\text{eff}}(a)$, где $\tilde{r}_{\text{eff}}(a)$ — функция (27). Если $r_{\text{eff}} < \tilde{r}_{\text{eff}}(a)$, то кривые $y_1(p)$ и $y_2(p)$ пересекаются в двух точках, а соответствующие им корни p_- и p_+ уравнения (15) не совпадают ($p_- < p_+$) и распределены следующим образом. При условиях $a \geq -\pi$ и $r_{\text{eff}} \geq r_{\text{eff}}^0(a)$, где $r_{\text{eff}}^0(a)$ — функция (28), оба корня принадлежат полуинтервалу $(p_0, q_0]$. При условиях $a \geq -\pi$ и $r_{\text{eff}} < r_{\text{eff}}^0(a)$, корень p_- остается на этом интервале, а корень p_+ превышает число q_0 . Если $a < \pi$ и $r_{\text{eff}} \geq r_{\text{eff}}^0(a)$, то корни p_- и p_+ лежат на полуоси $q_0 \geq 0$. В случае $a < -\pi, r_{\text{eff}} < r_{\text{eff}}^0(a)$ корень p_- принадлежит интервалу (p_0, q_0) , а корень p_+ остается на той же полуоси. При любом $a < 0$ корень p_- сходится к p_0 в пределе $r_{\text{eff}} \rightarrow 0+$.

Теперь положим $2\lambda = 1$ и исследуем уравнение (15), используя рис. 4.

Начнем со случая $a > 0, r_{\text{eff}} > 0$. Заметим, что обе кривые $y_1(p)$ и $y_2(p)$ лежат в первом квадранте системы S^2 , если $p \leq q_0$. Согласно формуле (21) функция $y_1(p)$ ограничена сверху числом $q_0^2/(\pi e)$. Значит, исследуемые кривые могут касаться или же пересекаться в двух точках, если выполняется

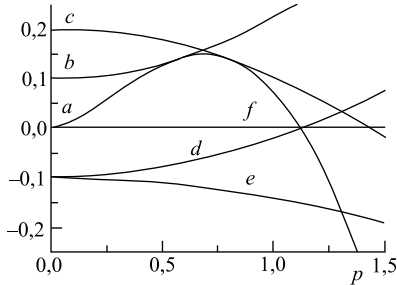


Рис. 4. Графики функций $y_0(p) \equiv 0$ (прямая f), $y_1(p) = -(2/\pi)p^2 \ln(p/q_0)$ (кривая a) и $y_2(p) = 1/a + p^2 r_{\text{eff}}/2$ в следующих случаях: $a = 10$, $r_{\text{eff}} = \bar{r}_{\text{eff}}(a) \approx 0,248$ (кривая b); $a = 5$, $r_{\text{eff}} = \bar{r}_{\text{eff}}(a) \approx -0,193$ (кривая c); $a = -10$, $r_{\text{eff}} = -2/(aq_0^2) \approx 0,159$ (кривая d); $a = -10$, $r_{\text{eff}} = -1/(aq_0^2) \approx -0,076$ (кривая e); $\bar{r}_{\text{eff}}(a)$ — функция (30)

неравенство $y_2(p) \leq y_1(p)$, которое порождает условие

$$a > \bar{a} \equiv \pi e q_0^{-2} = 6,772476 \dots \quad (29)$$

При таком условии в силу равенства (24) точка касания имеет абсциссу $t = \sqrt{\pi/a}$, меньшую числа $t_0 = q_0 \exp(-1/2)$. Положив $t = \sqrt{\pi/a}$ в формуле (23), находим значение \bar{r}_{eff} параметра r_{eff} , при котором имеется точка касания:

$$r_{\text{eff}} = \bar{r}_{\text{eff}}(a) = -\frac{2}{\pi} \ln\left(\frac{\pi e}{aq_0^2}\right) = \frac{2}{\pi} \ln\left(\frac{a}{\bar{a}}\right). \quad (30)$$

Этой точке на рис. 4 соответствует точка касания кривых a и b . Если $a > \bar{a}$ и $r_{\text{eff}} < \bar{r}_{\text{eff}}(a)$, то кривые $y_1(p)$ и $y_2(p)$ пересекаются в двух точках, абсциссы которых p_- и p_+ подчиняются неравенствам $p_- < t < p_+$ и являются корнями уравнения (15). При условиях $a/\bar{a} \rightarrow \infty$ и $r_{\text{eff}} < \bar{r}_{\text{eff}}(a)$ корень p_- сходится к нулю справа.

Пусть теперь $a > 0$, $r_{\text{eff}} < 0$. Согласно равенствам (23) и (24) кривые $y_1(p)$ и $y_2(p)$, обозначенные на рис. 4 буквами a и c , касаются в точке с абсциссой $t = \sqrt{\pi/a}$, если $a < \bar{a}$ и $r_{\text{eff}} = \bar{r}_{\text{eff}}(a)$. При условиях $a < \bar{a}$ и $r_{\text{eff}} < \bar{r}_{\text{eff}}(a)$ кривые $y_1(p)$ и $y_2(p)$ пересекаются в двух точках. Их абсциссы p_- и p_+ являются корнями уравнения (15) и подчиняются следующим соотношениям: $p_0 \in (0, t_0)$; $p_+ \in (t_0, q_0]$, если $r_{\text{eff}} \geq \bar{r}_{\text{eff}}(a)$, и $p_+ > q_0$, если $r_{\text{eff}} \leq \bar{r}_{\text{eff}}(a)$. В этих соотношениях $t_0 = q_0 \exp(-1/2)$, а $\bar{r}_{\text{eff}}(a)$ — функция (28). Корень p_- сходится к нулю при $r_{\text{eff}} \rightarrow -\infty$.

Следующий случай: $a < 0$, $r_{\text{eff}} > 0$. Функция $y_2(p)$ обращается в нуль при $p = q_0$, если выполняется условие (28). Кривая d на рис. 4 — график такой функции. Так как $a < 0$, то уравнение (24) имеет только комплексное решение $t = i\sqrt{\pi/|a|}$. Поэтому кривые $y_1(p)$ и $y_2(p)$ не могут касаться, но пересекаются в одной точке. Ее абсцисса p такова, что $p \leq q_0$, если $r_{\text{eff}} \geq \bar{r}_{\text{eff}}^0(a)$, и $p > q_0$, если $r_{\text{eff}} < \bar{r}_{\text{eff}}^0(a)$.

В последнем случае ($a < 0$, $r_{\text{eff}} < 0$) кривые y_1 и y_2 пересекаются в одной точке. Ее абсцисса больше числа q_0 . Такие кривые на рис. 4 помечены буквами a и e .

Завершим настоящий раздел полезными замечаниями и примерами.

В случае $2\lambda \geq 3$ каждое из трех уравнений (23)–(25), определяющих абсциссу t точки касания, содержит логарифмическую функцию. Поэтому в отличие от рассмотренных выше случаев $2\lambda = \pm 1$ решения этих уравнений и условия на значения a и r_{eff} , при которых точка касания существует, нельзя найти в явном виде. Это обстоятельство сужает качественный анализ уравнения (15) до доказательства с помощью рис. 1 следующего утверждения. В случае $2\lambda \geq 3$ уравнение (15) имеет одно решение $p < q_0$, если $a > 0$ и $r_{\text{eff}} < r_{\text{eff}}^0(a)$ или $a < 0$, но $r_{\text{eff}} > r_{\text{eff}}^0(a)$, где $r_{\text{eff}}^0(a)$ — функция (28). При известных значениях $\lambda \geq 3/2$, a и r_{eff} численный анализ уравнения (15) несложен. Такой анализ следует начать с локализации искомых корней. Для этого нужно сначала вычислить абсциссу t точки касания как корень уравнения (24). Затем в равенстве (25) заменить величину t ее найденным значением и вычислить его правую часть. Ее значение будет значением эффективного радиуса $\bar{r}_{\text{eff}}(a)$, при котором кривые y_1 и y_2 касаются. Дальнейшее исследование заключается в дословном повторении данного выше анализа случая $2\lambda = 1$ и приводит к следующим выводам. При наперед заданных значениях $\lambda \geq 3/2$, a и r_{eff} уравнение (15) имеет корни в следующих случаях: если $2\lambda + 1$ не кратно четырем, то при любом $a > 0$ и $r_{\text{eff}} < \bar{r}_{\text{eff}}(a)$ или при $a \leq 0$ и любом r_{eff} ; если $2\lambda + 1$ кратно четырем, то при любом $a < 0$ и $r_{\text{eff}} > \bar{r}_{\text{eff}}(a)$ или при $a \geq 0$ и любом r_{eff} . При $2\lambda \geq 3$ кривая $y_1(p)$ имеет одну точку перегиба, абсцисса p' принадлежит полуинтервалу $(0, t(\lambda))$, где число $t(\lambda)$ вычисляется по формуле (20). Из-за такой точки перегиба уравнение (15) может иметь два корня (кратный p_1 и простой p_3) или три простых корня (p_1 , p_2 и p_3) в следующих случаях: $2\lambda + 1$ не кратно четырем, $a < 0$, $r_{\text{eff}} > 0$ или $2\lambda + 1$ кратно четырем, но $a > 0$, $r_{\text{eff}} < 0$. Корни p_1 и p_2 принадлежат полуинтервалу $(0, t(\lambda))$, а корень p_3 удовлетворяет соотношениям $t(\lambda) < p_3 < q_0$.

Найденные в случае $r_{\text{eff}} = 0$ точные решения (17) и (20) уравнения (15) и условия его разрешимости (18) и (22) становятся соответствующими приближенными соотношениями при отличном от нуля, но достаточно малом по модулю значении r_{eff} , а именно при условии $q_0^2 |ar_{\text{eff}}| \ll 2$, позволяющем на отрезке $0 \leq p \leq q_0$ считать второе слагаемое асимптотики (14) малой поправкой к ее первому слагаемому.

Предположим, что волновое число $|ip, \lambda\rangle$ задано теоретически или измерено экспериментально. Тогда, положив $t = p$ в соотношениях (23) и (24), несложно сначала вычислить значения параметров a и r_{eff} , при которых такое состояние имеется, а затем использовать эти значения и приближение (13) для экстраполяции фазы $\delta_\lambda(q)$ и соответствующего сечения $\sigma_\lambda(q)$, заданного формулой (4), в область $q \in [0, q_0]$.

Сформулируем особо важный с физической точки зрения вывод, следующий из выполненного выше анализа уравнения (15). Энергия связанного

состояния квантовой частицы сходится к нулю в следующих случаях: если $2\lambda = -1$, то в пределе $a \rightarrow 0-$ или при условиях $a \neq 0$ и $r_{\text{eff}} \rightarrow -\infty$; если $2\lambda = 1, 5, \dots$, то в пределе $a \rightarrow \infty$ или при условиях $a > 0$ и $r_{\text{eff}} \rightarrow -\infty$; если $2\lambda = 3, 7, \dots$, то в пределе $a \rightarrow -\infty$ или при условиях $a < 0$ и $r_{\text{eff}} \rightarrow \infty$.

Приведем два физически интересных примера.

Пусть $2\lambda = -1$, а $r_{\text{eff}} = 0$, тогда корню (17) уравнения (15) при условии (18) отвечает связанное состояние с энергией связи

$$B = \beta p_0^2 = \beta q_0^2 \exp(\pi/a), \quad a \leq -\pi/(2 \ln q_0), \quad (31)$$

которая экспоненциально сходится к нулю в пределе $a \rightarrow 0-$.

Пусть $2\lambda = 1, 5, \dots$, а $r_{\text{eff}} = 0$. Используя равенства (20) и (22), заключаем, что первому корню p_- уравнения (15), сходящемуся к нулю в пределе $a \rightarrow \infty$, соответствует связанное состояние, энергия связи которого ограничена сверху:

$$B = \beta p_-^2 \leq \beta q_0^2 \exp\left(-\frac{2}{2\lambda+1}\right), \quad a \geq \bar{a} \equiv \left(\lambda + \frac{1}{2}\right) \pi e q_0^{-2\lambda-1}, \quad (32)$$

и сходится к нулю в двух пределах $a/\bar{a} \rightarrow \infty$ и $\lambda \rightarrow \infty$. Стоит отметить интересный факт: определение величины \bar{a} содержит три фундаментальные константы: число π , основание e натурального логарифма и константу Эйлера γ .

Сравним наше представление (31) энергии связи B через длину рассеяния a с известными интегральными представлениями этой же энергии, но через потенциал $V(x)$. Введем положительную константу связи g и будем считать, что $V(x) = g\bar{V}(x)$. Используя определения, принятые в настоящей работе, сформулируем альтернативу, впервые доказанную Б. Симоном в его работе [6]: при любой сколь угодно малой константе g квантовая частица не имеет связанного состояния $|ip, \lambda\rangle$, $2\lambda = -1$, если

$$I \equiv (\pi/2) \int_0^\infty dx x \bar{V}(x) > 0,$$

и имеет таковое в противном случае, когда $I < 0$, причем в этом случае энергия связи $B(g)$ обладает асимптотикой

$$B(g) = \beta q_0^2 \exp[\pi/S(g)] [1 + o(1)], \quad g \rightarrow 0+, \quad S(g) \equiv g I.$$

В работе [7] С. Х. Патил дал иное доказательство альтернативы Симона и получил для функции $S(g)$ представление в виде бесконечного ряда по целым степеням параметра g с первым слагаемым gI . Авторы работы [15] показали, что произведение gI равно борновскому приближению a_B длины рассеяния a .

Выведем это приближение другим способом. В рассматриваемом случае $2\lambda = -1$ функция $a(x)$, содержащаяся в разложении (11), определяется равенством $a(x) = -(\pi/2)s_0(x)/c_0(x)$, а компоненты $c_0(x)$ и $s_0(x)$ удовлетворяют системе уравнений [26]

$$\begin{aligned}\partial_x c_0(x) &= -\ln(x) y(x), \quad \partial_x s_0(x) = -y(x), \\ y(x) &\equiv xV(x) [c_0(x) - \ln(x) s_0(x)], \quad x > 0,\end{aligned}\tag{33}$$

и граничным условиям $c_0(0) = 1$, $s_0(0) = 0$. Продифференцируем это равенство по аргументу x , а затем заменим производные $\partial_x c$ и $\partial_x s$ правыми частями соответствующих уравнений (33). В результате получим нелинейную задачу

$$\tau \partial_x a(x) = xV(x) [1 + \tau a(x) \ln(x)]^2, \quad x > 0; \quad a(0) = 0; \quad \tau = 2/\pi.$$

Ее первая итерация в точке $x = \infty$ совпадает с борновским приближением a_B . Сравнив наше представление (31) с асимптотикой функции $B(g)$, заключаем, что эта длина рассеяния a равна сумме $S(g)$ бесконечного ряда Патила.

3. ЭНЕРГИИ ОКОЛОПОРОГОВЫХ РЕЗОНАНСНЫХ СОСТОЯНИЙ

Выведем уравнение, определяющее волновое число q резонансного состояния квантовой частицы. Положив $q = q_1 - iq_2$ ($q_1, q_2 > 0$) в асимптотике (9) общего регулярного решения уравнения Шредингера, получим асимптотику в виде разности

$$u_\lambda(x; q) \rightarrow N(q) \left[A^+(q) \exp(iq_1 + q_2 x) - A^-(q) \exp(-iq_1 - q_2 x) \right], \quad |q|x/|\lambda| \rightarrow \infty,$$

где $A^\pm(q)$ — следующие комплексные функции волнового числа:

$$A^\pm(q) \equiv (2i)^{-1} \exp\{\mp i [\pi\lambda/2 - \delta_\lambda(q_1 - iq_2)]\}.$$

Эта разность совпадает с асимптотикой (6) волновой функции резонансного состояния тогда и только тогда, когда $A(q_1 - iq_2) = 0$, что возможно только при условии $\exp(-i\delta_\lambda(q)) = 0$. Из этого условия следует искомое уравнение $\operatorname{ctg} \delta_\lambda(q_1 - iq_2) = i$. Для околопороговых резонансных состояний $|p, \omega, \lambda\rangle$, $p \ll q_0$, благодаря представлениям (7) и соотношениям (12), (13) этому уравнению отвечает комплексное эталонное уравнение

$$\begin{aligned}p^{2\lambda+1} \left[i \left(1 + \frac{2}{\pi} \omega \right) - h(p) \right] + \left[\frac{1}{a} - \frac{p^2}{2} r_{\text{eff}} \exp(-2i\omega) \right] \times \\ \times \exp[-i(2\lambda+1)\omega] = 0,\end{aligned}$$

которое порождает систему двух вещественных уравнений

$$p^{2\lambda+1} (2/\pi) \ln(p/q_0) = (1/a) \cos[(2\lambda+1)\omega] - (p^2/2) r_{\text{eff}} \cos[(2\lambda-1)\omega], \quad (34)$$

$$p^{2\lambda+1} [1 + (2/\pi)\omega] = -(1/a) \sin[(2\lambda+1)\omega] + (p^2/2) r_{\text{eff}} \sin[(2\lambda-1)\omega]. \quad (35)$$

Анализ распределения корней (p, ω) этой системы начнем со случая $r_{\text{eff}} = 0$.

Пусть $2\lambda = -1$. Тогда оба уравнения (34) и (35) становятся линейными. Первое из них совпадает с уже исследованным выше эталонным уравнением $h(p) = 1/a$, а второе становится равенством при $\omega = -\pi/2$, но такое значение угла ω не удовлетворяет наложенному выше ограничению $\omega > 0$. Следовательно, уравнения (34) и (35) несовместны. Поэтому при $2\lambda = -1$ и $r_{\text{eff}} = 0$ резонансное состояние отсутствует.

Пусть теперь $2\lambda \geq 1$. Если число $(2\lambda+1)\omega$, $\omega \in (0, \pi/2)$, равно нулю функции $\cos(2\lambda+1)\omega$ или нулю $\bar{\omega}_n = n\pi/(2\lambda+1)$ функции $\sin(2\lambda+1)\omega$, то система уравнений (34) и (35) не имеет решений. Поэтому далее полагаем, что $\omega \neq \bar{\omega}_n$, $n = 0, 1, \dots, \lambda+1/2$. Это условие позволяет поделить правые и левые части уравнений (34) и (35) друг на друга, а затем, разрешив полученное уравнение относительно переменной p , вывести универсальную (не зависящую от значения a) связь $p = p(\omega)$ между полярными координатами p и ω резонансного состояния $|(p, \omega), \lambda\rangle$. Запишем эту связь в виде

$$p(\omega) = q_0 \exp \left\{ - \left[\frac{\pi}{2} + \omega \right] \operatorname{ctg}(2\lambda+1)\omega \right\}; \quad \forall a, r_{\text{eff}} = 0, \quad \omega \in (0, \pi/2). \quad (36)$$

Положив $p = p(\omega)$ в уравнении (35), получим уравнение для искомого угла ω

$$\begin{aligned} q_0^{2\lambda+1} \left[1 + \frac{2}{\pi}\omega \right] \exp \left\{ - (2\lambda+1) \left[\frac{\pi}{2} + \omega \right] \operatorname{ctg}(2\lambda+1)\omega \right\} \times \\ \times \operatorname{cosec}(2\lambda+1)\omega = -\frac{1}{a}. \end{aligned} \quad (37)$$

Его левую и правую части считаем функциями $y_1(\omega)$ и $y_2(\omega) \equiv -1/a$. Особенности строения функций $p(\omega)$ и $y_1(\omega)$ поясняет рис. 5. Все нули этих функций совпадают с нулями $\bar{\omega}_n$ функции $\sin(2\lambda+1)\omega$ и достигаются в пределе $\omega \rightarrow \bar{\omega}_n + 0$. При $\omega \rightarrow \bar{\omega}_n - 0$ функции $p(\omega)$ и $|y_1(\omega)|$ неограниченно возрастают. Функция $y_1(\omega)$ меняет знак при переходе ее аргумента ω через каждую точку $\omega = \bar{\omega}_n$. Число N^- всех интервалов $(\bar{\omega}_{2j-2}, \bar{\omega}_{2j-1})$, $j = 1, 2, \dots, N^-$, на которых функция $y_1(\omega)$ является положительной, равно целой части числа $(2\lambda+3)/4$. Число N^+ всех оставшихся интервалов $[\bar{\omega}_{2j-1}, \bar{\omega}_{2j})$, $j = 1, 2, \dots, N^+$, на которых эта функция меньше нуля, равно целой части числа $(2\lambda+1)/4$.

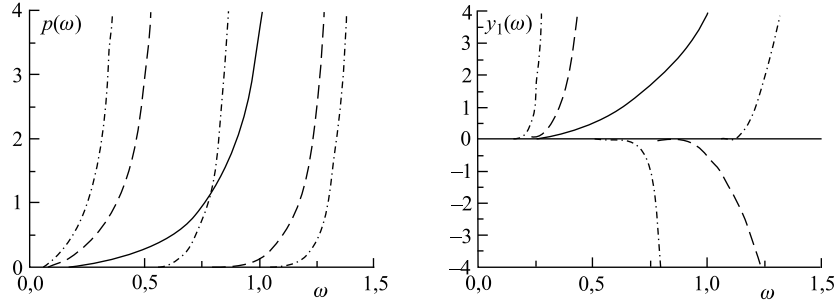


Рис. 5. Графики функции $f(\omega) \equiv 0$ (прямая) и функций $p(\omega)$ и $y_1(\omega)$, равных правой и левой частям соотношений (36) и (37), в следующих случаях: $2\lambda = 1, 3, 5$ — сплошные, штриховые и штрихпунктирные кривые соответственно

Вследствие перечисленных свойств функции $y_1(\omega)$ при условиях $a < 0$ и $2\lambda \geq 1$ ее график и прямая $y_2(\omega)$ пересекаются N^- раз, а в случае $a > 0$ и $2\lambda \geq 3$ число их точек пересечения равно N^+ . В первом случае абсцисса ω_j^+ точки пересечения принадлежит полуинтервалу $[\bar{\omega}_{2j-2}, \bar{\omega}_{2j-1})$, а во втором случае абсцисса ω_j^- точки пересечения находится на полуинтервале $[\bar{\omega}_{2j-1}, \bar{\omega}_{2j})$.

Абсциссы ω_j^\pm являются корнями уравнения (37). В силу связи (36) каждому корню ω_j^\pm отвечает единственное значение $p = p(\omega_j^\pm)$ переменной p . Это значение сходится к нулю в пределе $|a| \rightarrow \infty$. Следовательно, в случае $a < 0$ и $2\lambda \geq 1$ квантовая частица имеет N^- резонансных состояний $|(p(\omega_j^-), \omega_j^-), \lambda, j = 1, 2, \dots, N^- \rangle$, а в случае $a > 0$ и $2\lambda \geq 3$ существует N^+ ее резонансных состояний $|(p(\omega_j^+), \omega_j^+), \lambda \rangle, j = 1, 2, \dots, N^+ \rangle$.

Символами $\tilde{\omega}_j^+$ и $\tilde{\omega}_j^-$ обозначим средние точки отрезков $[\bar{\omega}_{2j-2}, \bar{\omega}_{2j-1}]$ и $[\bar{\omega}_{2j-1}, \bar{\omega}_{2j}]$. В точках $\tilde{\omega}_j^\pm$ функция $\operatorname{ctg}(2\lambda + 1)\omega$ равна нулю. Вследствие связи (36) неравенство $p(\omega) < q_0$ справедливо при условии $\operatorname{ctg}(2\lambda + 1)\omega > 0$. В случае $a < 0$ и $2\lambda \geq 1$ это условие выполняется, если $\omega \in (\bar{\omega}_{2j-2}, \tilde{\omega}_j^+)$, где $j = 1, 2, \dots, N^-$, а в случае $a > 0$ и $2\lambda \geq 3$ — если $\omega \in (\bar{\omega}_{2j-1}, \tilde{\omega}_j^-)$, где $j = 1, 2, \dots, N^+$.

Для большей ясности приведем пример, используя рис. 5. Если $2\lambda = 1$ и $a < 0$, то прямая $y_2(\omega) \equiv -1/a$ пересекает сплошную кривую $y_1(\omega)$ только в одной точке, ее абсцисса — корень $\omega = \omega_1^-$ уравнения (37). Этому корню согласно формуле (36) отвечает единственное значение $p = p(\omega_1^-)$. Следовательно, квантовая частица имеет одно резонансное состояние $|(p(\omega_1^-), \omega_1^-), \lambda = 1/2 \rangle$. В случае $2\lambda = 5$ и $a < 0$ прямая $y_2(\omega)$ пересекает штрихпунктирную кривую $y_1(\omega)$ в двух точках с абсциссами $\omega_1^- \in [0, \pi/6]$ $\omega_2^- \in [\pi/3, \pi/2]$. В случае $2\lambda = 5$ и $a < 0$ имеется одна точка пересечения с абсциссой

$\omega_1^+ \in [\pi/6, \pi/3]$. Следовательно, при $a < 0$ существуют два резонансных состояния $|p(\omega_j^-), \omega_j^-, \lambda = 5/2\rangle$, $j = 1, 2$, а в случае $a > 0$ — одно резонансное состояние $|p(\omega_1^+), \omega_1^+, \lambda = 5/2\rangle$.

Перейдем к анализу системы уравнений (34) и (35) в случае $r_{\text{eff}} \neq 0$.

Положим $2\lambda = -1$. Исключив из этих уравнений функцию $p^2 r_{\text{eff}}/2$, найдем связь

$$p(\omega; a) = q_0 \exp \left[\frac{\pi}{2a} + \frac{1}{2} \eta(\omega) \right], \quad \eta(\omega) \equiv \frac{\pi + 2\omega}{\sin 2\omega} > 0, \quad \omega \in (0, \pi/2). \quad (38)$$

Используя ее, сведем уравнение (34) к неоднородному уравнению относительно одной неизвестной переменной ω . Чтобы воспользоваться функцией $\tilde{r}_{\text{eff}}(a)$, заданной равенством (27), поделим обе части этого уравнения на основание e натурального логарифма. В результате получим уравнение

$$y_1(\omega) = -\tilde{r}_{\text{eff}}(a)/r_{\text{eff}}, \quad y_1(\omega) \equiv [1/\eta(\omega)] \exp [\eta(\omega) - 1]. \quad (39)$$

Заметим, что при $\omega \in (0, \pi/2)$ функции $\eta(\omega)$, $p(\omega, a)$ и $y_1(\omega)$ принимают только положительные значения, неограниченно возрастают, если $\omega \rightarrow +0$ или $\omega \rightarrow \pi/2-$, и имеют единственный локальный минимум, который достигается ими в одной и той же точке $\omega = \tilde{\omega} = 0,675908\dots$. Поэтому уравнение (39) разрешимо при условии

$$r_{\text{eff}} \leqslant r_r(a) \equiv \tilde{r}_{\text{eff}}(a)/y_1(\tilde{\omega}) = -0,125361\dots \tilde{r}_{\text{eff}}(a).$$

Если это условие является неравенством, то имеется два простых корня $\omega_1 \in (0, \tilde{\omega})$ и $\omega_2 \in (\tilde{\omega}, \pi/2)$, в противном случае эти корни совпадают и становятся равными числу $\tilde{\omega}$. В силу связи (38) каждому корню $\omega = \omega_i$ отвечает единственное положительное значение переменной $p = p(\omega_i, a)$, которое не превышает число q_0 , если

$$a \leqslant \tilde{a}_r \equiv -\pi/\eta(\tilde{\omega}) = -0,682459\dots$$

Поэтому $p = p(\omega_i, a) \rightarrow 0$ в пределе $a/\tilde{a}_r \rightarrow \infty$. Следовательно, при условиях $2\lambda = -1$, $a \ll \tilde{a}_r$ и $r_{\text{eff}} < r_r(a)$ квантовая частица имеет одно или два околопороговых резонансных состояния $|p(\tilde{\omega}; a); -1/2\rangle$ или $|p(\omega_i; a), -1/2\rangle$, $i = 1, 2$. Напомним, что при тех же условиях эта частица имеет только одно слабосвязанное состояние.

Теперь исследуем систему уравнений (34) и (35) в случае $r_{\text{eff}} \neq 0$ и $2\lambda = 1$. Если $a < 0$, то уравнение (35) имеет вещественное решение

$$p(\omega; a) = \sqrt{-\frac{\pi}{a\eta(\omega)}}, \quad \omega \in (0, \pi/2), \quad a < 0. \quad (40)$$

В уравнении (34) положим $p = p(\omega; a)$. Обе части полученного уравнения умножим на функцию $\pi a \eta(\omega)/2$, а затем увеличим на константу $2/\pi$ и воспользуемся определением (27) функции $\bar{r}_{\text{eff}}(a)$. В итоге выведем следующее уравнение:

$$(2/\pi) [\ln \eta(\omega) - \eta(\omega) \cos 2\omega + 1] = r_{\text{eff}} - \bar{r}_{\text{eff}}(-a).$$

Его левую часть считаем функцией $y_1(\omega)$. Эта функция монотонно возрастает на интервале $(0, \pi/2)$, обращается в нуль в одной точке $\bar{\omega} = 0,506856\dots$ и неограничена на концах этого интервала: $y_1(\omega) \rightarrow -\infty$, если $\omega \rightarrow 0+$ и $y_1(\omega) \rightarrow \infty$ при $\omega \rightarrow \pi/2-$. Поэтому исследуемое уравнение имеет один корень ω_1 , причем $\omega_1 \in (0, \bar{\omega}]$ в случае $r_{\text{eff}} \leq \bar{r}_{\text{eff}}(-a)$ и $\omega_1 \in (\bar{\omega}, \pi/2)$ в противном случае. В силу связи (40) корню ω_1 соответствует одно значение $p = p(\omega_1; a)$ переменной p . Оно меньше числа q_0 , если

$$a < \bar{a}_r \equiv -\pi / [q_0^2 \eta(\bar{\omega})] = -0,541227\dots,$$

и сходится к нулю при $a/\bar{a}_r \rightarrow \infty$. Поэтому при условиях $\lambda = 1/2$ и $a \ll \bar{a}_r$ существует одно оклопороговое резонансное состояние $|(p(\omega_1, a), \omega), 1/2\rangle$ квантовой частицы. Напомним, что при тех же условиях эта частица не имеет слабосвязанных состояний.

В оставшемся случае $2\lambda \geq 3$ и $r_{\text{eff}} \neq 0$ качественный анализ распределения корней системы уравнений (34) и (35) представляется возможным лишь при дополнительных ограничениях $2|\lambda|\omega \ll 1$ или $|\lambda|(\pi - 2\omega) \ll 1$, позволяющих записать эту систему в линейном по переменной ω или $\omega' \equiv \pi/2 - \omega$ приближении.

Предположим, что $0 < 2|\lambda|\omega \ll 1$. В системе уравнений (34) и (35) заменим все тригонометрические функции старшими слагаемыми их известных асимптотик при малых значениях аргументов [35]. В результате для уравнения (34) получим эталонное уравнение

$$p^{2\lambda+1} \frac{2}{\pi} \ln(p/q_0) = \frac{1}{a} - \frac{1}{2} r_{\text{eff}} p^2, \quad (41)$$

не содержащее переменную ω , а из уравнения (35) выведем линейное по этой переменной уравнение. Затем из этого уравнения найдем связь

$$\omega = \omega(p) \equiv \frac{2\pi a p^{2\lambda+1}}{ar_{\text{eff}}(2\lambda-1)p^2 - 4\pi a p^{2\lambda+1} - 2\pi(2\lambda+1)}.$$

Эта связь означает, что линеаризованное по переменной ω уравнение (35) имеет единственное решение $\omega = \omega(p)$, которое выражается через корень p уравнения (41). Если корень p такой, что значение функции $\omega(p)$ удовлетворяет ограничениям $0 < 2|\lambda|\omega(p) \ll 1$, наложенным выше, то совокупность

$(p, \omega = \omega(p))$ является искомым приближенным решением системы уравнений (34) и (35), а квантовая частица p_1 имеет оклопороговое резонансное состояние $|(p, \omega(p)), \lambda\rangle$. Заметим, что уравнение (41) отличается от исследованного в предыдущем разделе уравнения (15) лишь знаком первого ($1/a$) или второго ($p^2 r_{\text{eff}}/2$) слагаемого, если число $2\lambda + 1$ не кратно или кратно четырем.

Теперь предположим, что $0 < |\lambda|(\pi - 2\omega) \ll 1$. В системе уравнений (34) и (35) перейдем к переменной $\omega' \equiv \pi/2 - \omega$. Полученную систему запишем в линейном по этой переменной приближении. В итоге для уравнения (34) в качестве эталонного получим уже исследованное уравнение (15), а из уравнения (35) выведем связь

$$\omega = \omega(p) \equiv -\frac{4\pi a (ip)^{2\lambda+1} - \pi^2 [4\lambda + 2 + (2\lambda - 1) a r_{\text{eff}} p^2]}{8a (ip)^{2\lambda+1} + 2\pi [4\lambda + 2 + (2\lambda - 1) a r_{\text{eff}} p^2]}.$$

В силу этой связи каждому корню p уравнения (15) отвечает единственное значение $\omega(p)$ переменной ω . Если этот корень такой, что $0 < |\lambda|[\pi - 2\omega(p)] \ll 1$, то $(p, \omega = \omega(p))$ — искомое приближенное решение системы уравнений (34) и (35), которому соответствует оклопороговое резонансное состояние $|(p, \omega(p)), \lambda\rangle$.

Стоит пояснить физический смысл использованных выше ограничений на угол ω . Ограничение $2|\lambda|\omega \ll 1$ означает, что в комплексной плоскости переменной q волновое число $q_r = q_1 - iq_2$ резонансного состояния $|q_r, \lambda\rangle$ лежит вблизи положительной вещественной полуоси ($q_2 \ll q_1$) и тем ближе, чем больше квантовое число λ . Поэтому ширина резонанса Γ мала, а время жизни \hbar/Γ обсуждаемого резонансного состояния велико. При условии $|\lambda|(\pi - 2\omega) \ll 1$ волновое число q_r расположено в комплексной плоскости переменной q вблизи отрицательной мнимой полуоси ($q_1 \ll q_2$) и тем ближе, чем больше квантовое число λ , поэтому выполняется соотношение $\Gamma \gg E_r$.

ЗАКЛЮЧЕНИЕ

Сформулируем основные результаты настоящей работы.

В разд. 2 впервые дан исчерпывающий анализ эталонного уравнения (15), порожденного приближением эффективного радиуса: при любом значении квантового числа λ найдены условия разрешимости этого уравнения и выявлена зависимость всех его корней от двух параметров: длины рассеяния a и эффективного радиуса r_{eff} . Полученные условия разрешимости (18), (22), (27), (28), (30) и довольно простые формулы (17), (20), (23)–(26), (29), (31), (32) позволяют определить, имеется ли при заданных значениях этих параметров связанное состояние квантовой частицы с малой энергией связи, оценить эту энергию и выявить ее зависимость от трех параметров: λ , a и r_{eff} .

В разд. 3 впервые выведены и исследованы уравнения (34) и (35), определяющие зависимость малых по модулю значений волнового числа резонансного состояния квантовой частицы от длины рассеяния и эффективного радиуса. В результате анализа этих уравнений в случае $r_{\text{eff}} = 0$ найдена явная зависимость числа околовороговых резонансных состояний и распределения резонансных энергий от значения квантового числа λ . Как было показано, при любом значении длины рассеяния число резонансных состояний растет с увеличением значения λ , а распределение резонансных энергий зависит от знака длины рассеяния. Следует ожидать, что эти выводы останутся в силе при условии $|q_0^2 ar_{\text{eff}}| \ll 2$, позволяющем считать второе слагаемое асимптотики (14) малой поправкой к ее первому слагаемому при условии $0 < |q| \leq q_0$.

ЛИТЕРАТУРА

1. *Ландау Л. Д., Лифшиц Е. М.* Квантовая механика (нерелятивистская теория). Т. 3. 6-е изд., испр. М.: Физматлит, 2004.
2. *Флюгге З.* Задачи по квантовой механике. Т. 1. Пер. с англ. М.: Мир, 1974. С. 247.
3. *Де Альфаро В., Редже Т.* Потенциальное рассеяние. Пер. с англ. М.: Мир, 1966.
4. *Тейлор Дж.* Теория рассеяния. Пер. с англ. М.: Мир, 1975.
5. *Бабиков В. В.* Метод фазовых функций в квантовой механике. М.: Наука, 1976.
6. *Simon B.* // Ann. Phys. 1976. V. 97. P. 279.
7. *Patil S. H.* // Phys. Rev. A. 1980. V. 22. P. 2400.
8. *Каган Ю. и др.* // Письма в ЖЭТФ. 1982. Т. 35. С. 386.
9. *Lapidus I. R.* // Am. J. Phys. 1982. V. 50. P. 45.
10. *Lapidus I. R.* // Am. J. Phys. 1986. V. 54. P. 459.
11. *Adhikari S. K.* // Am. J. Phys. 1986. V. 54. P. 362.
12. *Averbuch P. G.* // J. Phys. A: Math. Gen. 1986. V. 19. P. 2325.
13. *Verhaar B. J. et al.* // J. Phys. A: Math. Gen. 1984. V. 17. P. 595.
14. *Verhaar B. J. et al.* // Phys. Rev. A. 1985. V. 32. P. 1424.
15. *Bollé D., Gesztesy F.* // Phys. Rev. A. 1984. V. 30. P. 1279.
16. *Adhikari S. K., Gibson W. G.* // Phys. Rev. A. 1992. V. 46. P. 3967.
17. *Randeria M., Duan J.-M., Shieh L.-Y.* // Phys. Rev. B. 1990. V. 41. P. 327.
18. *Melezhipk V. S.* // J. Comp. Phys. 1991. V. 92. P. 67.
19. *Petrov D. S., Holzman M., Shlyapnikov G. V.* // Phys. Rev. Lett. 2000. V. 84. P. 2551.
20. *Petrov D. S., Shlyapnikov G. V.* // Phys. Rev. A. 2001. V. 64. P. 012706.
21. *Khuri N. N. et al.* // J. Math. Phys. 2009. V. 50. 072105.
22. *Klawunn M., Pikovski A., Santos L.* // Phys. Rev. A. 2010. V. 82. 044701.
23. *Rosenkrantz M., Bao W.* // Phys. Rev. A. 2011. V. 84. 050701.
24. *Melezhipk V. S.* // LNCS. 2012. V. 7125. P. 94.

25. Rakityansky S.A., Elander N. // J. Phys. A: Math. Theor. 2012. V. 45. 135209.
26. Пупышев В.В. Рассеяние медленной квантовой частицы аксиально-симметричным короткодействующим потенциалом. Препринт ОИЯИ Р4-2012-119. Дубна, 2012.
27. Modugno G. et al. // Phys. Rev. A. 2003. V. 68. 011601.
28. Cladé P. et al. // Phys. Rev. Lett. 2009. V. 102. 170401.
29. Caar L.D. et al. // New J. Phys. 2009. V. 11. 055049.
30. Марчук Г.И. Методы вычислительной математики. М.: Наука, 1989.
31. Колмогоров А.Н., Фомин С.В. Элементы теории функций и функционального анализа. М.: Наука, 1976.
32. Сансоне Дж. Обыкновенные дифференциальные уравнения. Т. 1. Пер. с франц. М.: Изд-во иностр. лит., 1953.
33. Федорюк М.В. Асимптотические методы для линейных дифференциальных уравнений. М.: Наука, 1983.
34. Watson G.N. A treatise on the theory of Bessel functions. Cambridge University Press, 1922.
35. Абарамович М., Стигун И. Справочник по специальным функциям. Пер. с англ. М.: Наука, 1979.
36. Пупышев В.В. Рассеяние медленной квантовой частицы центральным короткодействующим потенциалом. Препринт ОИЯИ Р4-2012-101. Дубна, 2012.
37. Пупышев В.В. // ЯФ. 2013. Т. 76. С. 199.

Получено 31 июля 2013 г.

Редактор *E. B. Сабаева*

Подписано в печать 21.10.2013.

Формат 60 × 90/16. Бумага офсетная. Печать офсетная.
Усл. печ. л. 1,69. Уч.-изд. л. 2,09. Тираж 270 экз. Заказ № 58088.

Издательский отдел Объединенного института ядерных исследований
141980, г. Дубна, Московская обл., ул. Жолио-Кюри, 6.
E-mail: publish@jinr.ru
www.jinr.ru/publish/